

ФИЛЬТРАЦИЯ С ПОЛОСЫ ПРИ НАЛИЧИИ СОЛЕНОВЫХ ПОДПОРНЫХ ВОД

B. H. Эмих
(Новосибирск)

С полосы или из канала бесконечно малой глубины пресная вода плотностью ρ_1 фильтруется в грунт с коэффициентом фильтрации k , содержащий соленые подпорные воды плотности ρ_2 ($\rho_2 > \rho_1$). Пресная вода продавливает поверхность соленых, растекаясь в стороны и испаряясь (фиг. 1). Между пресными и солеными водами существует переходная зона. Ее толщина обычно невелика. Поэтому можно считать, что между пресной и соленой водой имеется резкая граница раздела. Это и делается в данной схеме.

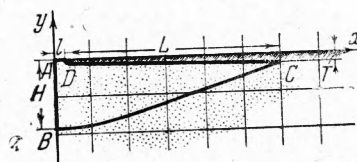
Рассматривается установившееся движение. Ввиду симметрии достаточно ограничиться правой половиной области движения. Оси координат выберем, как указано на фиг. 1. Примем следующие условия:

$$\varphi = 0, \quad y = 0 \text{ вдоль } AD$$

$$\psi = 0, \quad x = 0 \text{ вдоль } AB$$

Тогда получим

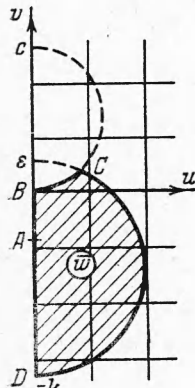
$$\varphi + ky = 0, \quad \psi + \varepsilon x = (\varepsilon_0 + \varepsilon) l \text{ на } CD$$



Фиг. 1

Здесь ε_0 — средняя инфильтрация и $\varepsilon > 0$ — испарение, которое принимается постоянным с единицы горизонтальной проекции на всей свободной поверхности.

Наконец, условие непрерывности давления при переходе через поверхность раздела и постоянства потенциала в зоне соленой воды приводит к уравнению для φ на BC , аналогичному уравнению на свободной поверхности (см. [1], гл. VIII, § 9)



Фиг. 2

$$\varphi - cy = (k + c) T \quad \left(c = k \frac{\rho_2}{\rho_1 - 1} \right) \quad (\psi = 0 \text{ на } BC)$$

Здесь T — глубина залегания подпорных вод.

Форма решения зависит от соотношения c и ε . Рассмотрим следующие случаи

Первый случай $c > \varepsilon$.

Ни одна из угловых точек области годографа скорости (фиг. 2), построенной для правой половины области движения, не является общей точкой пересечения участков границ областей w . Это не позволяет решать задачу методом годографа скорости (см. [2], § 73). Ниже дано ее решение путем применения аналитической теории линейных дифференциальных уравнений (см. [1], гл. VII) [3].

Предположим, что область z отображена на верхнюю полуплоскость ζ , причем угловым точкам области движения A, B, C и D приводятся в соответствие на действительной оси полуплоскости ζ точки $0, 1, a$ и ∞ (фиг. 3). Аффикс a подлежит определению. Для функций

$$Z = dz / d\zeta, \quad F = d\psi / d\zeta \quad (1)$$

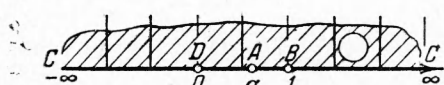
граничные условия, выписанные выше для функций $z = x + iy$ и $\omega = \varphi + i\psi$, имеют вид

$$\operatorname{Im} iF = 0, \quad \operatorname{Im} Z = 0 \quad \text{на } AD$$

$$\operatorname{Im} F = 0, \quad \operatorname{Im} iZ = 0 \quad \text{на } AB$$

$$\operatorname{Im} i(F + icZ) = 0, \quad \operatorname{Im} F = 0 \text{ на } BC$$

$$\operatorname{Im} (F - ieZ) = 0, \quad \operatorname{Im} i(F - ikZ) = 0 \text{ на } CD$$



Фиг. 3

В окрестности каждой угловой точки функции (1) являются определенными линейными комбинациями некоторых функций W_1 и W_2 , области которых в окрестности данной точки суть углы с прямолинейными границами (см. [4], § 21). Функции W_1 и W_2 можно, следовательно, искать как решение дифференциального уравнения класса Фукса (см. [5], гл. IV), (см. [6], гл. V), для которого угловые точки будут регулярными особыми точками.

Приводим значения показателей α' и α'' в этих точках

Точки	0	a	1	∞
α'	0	$-1/2$	0	α'_1
α''	$-1/2$	$+1/2$	$-1/2$	α'_2

Здесь

$$\begin{aligned} \alpha'_1 &= 2 - \delta \\ \alpha'_2 &= 1 + \delta \quad \left(\delta = \frac{1}{\pi} \operatorname{arc} \operatorname{tg} \sqrt{\frac{\varepsilon(c+k)}{k(c-\varepsilon)}} \right) \end{aligned}$$

Искомое решение определяется следующим символом Римана:

$$\begin{aligned} Z_1 &= P \left\{ \begin{matrix} 0 & a & 1 & \infty & \zeta \\ 0 & -1/2 & 0 & \alpha'_1 & \zeta \\ -1/2 & -1/2 & -1/2 & \alpha'_2 & \zeta \end{matrix} \right\} = \\ &= (\zeta - a)^{-1/2} P \left\{ \begin{matrix} 0 & 1 & \infty & \zeta \\ 0 & 0 & \alpha_1 & \zeta \\ -1/2 & -1/2 & \alpha_2 & \zeta \end{matrix} \right\} = (\zeta - a)^{-1/2} Y \end{aligned}$$

где $\alpha_1 = \alpha'_1 - 1/2$, $\alpha_2 = \alpha'_2 - 1/2$.

Как видим, точка $\zeta = a$ является устранимой особой точкой для Y_1 и обычной для Y . Функции Y соответствует гипергеометрическое уравнение с тремя особыми точками: 0, 1 и ∞

$$\frac{d^2Y}{d\xi^2} + \left[\frac{3}{2\xi} + \frac{3}{2(\xi-1)} \right] \frac{dY}{d\xi} + \frac{\alpha_1 \alpha_2}{\xi(\xi-1)} Y = 0 \quad (2)$$

Искомые функции (1) выражаются в конечном счете через гипергеометрические функции, являющиеся решением уравнения (2). Последние же выражаются посредством соотношений Гаусса через тригонометрические и гиперболические функции. Приводим полученные уравнения различных участков границ областей z и ω в параметрическом виде.

Участок AD

$$\begin{aligned} (0 < \zeta < a, 0 < t < \operatorname{arc} \operatorname{sin} \sqrt{a}; \zeta = \sin^2 t) \\ dz/dt &= B(\mu \delta^{-1} \sin 2\delta t - 2 \cos 2\delta t)(a - \sin^2 t)^{-1/2} \\ d\omega/dt &= -iB(2k \cos 2\delta t + \mu \varepsilon \delta^{-1} \sin 2\delta t)(a - \sin^2 t)^{-1/2} \end{aligned} \quad (3)$$

Участок AB

$$\begin{aligned} (a < \zeta < 1, \operatorname{arc} \operatorname{sin} \sqrt{a} < t < 1; \zeta = \sin^2 t) \\ dz/dt &= iB(\mu \delta^{-1} \sin 2\delta t - 2 \cos 2\delta t)(\sin^2 t - a)^{-1/2} \\ d\omega/dt &= B(2k \cos 2\delta t + \mu \varepsilon \delta^{-1} \sin 2\delta t)(\sin^2 t - a)^{-1/2} \end{aligned} \quad (4)$$

Свободная поверхность CD

$$\begin{aligned} (-\infty < \zeta < 0, \infty > t > 0; \zeta = \sin^2 it = -\operatorname{sh}^2 t) \\ dz/dt &= -B(\mu \delta^{-1} \operatorname{sh} 2\delta t + i2 \operatorname{ch} 2\delta t)(a + \operatorname{sh}^2 t)^{-1/2} \\ d\omega/dt &= B(2k \operatorname{ch} 2\delta t + i\mu \varepsilon \delta^{-1} \operatorname{sh} 2\delta t)(a + \operatorname{sh}^2 t)^{-1/2} \end{aligned} \quad (5)$$

Поверхность раздела BC

$$\begin{aligned} (1 < \zeta < \infty, 0 < t < \infty; 1 - \zeta = \sin^2 it = -\operatorname{sh}^2 t) \\ dz/dt &= (B/c \cos \pi \delta)[2(c+k) \operatorname{ch} 2\delta t - i\mu \varepsilon \operatorname{sh} 2\delta t](\operatorname{ch}^2 t - a)^{-1/2} \\ d\omega/dt &= (B\mu \varepsilon / \delta \cos \pi \delta) \operatorname{sh} 2\delta t (\operatorname{ch}^2 t - a)^{-1/2} \end{aligned} \quad (6)$$

В этих уравнениях

$$\mu = -\frac{2\delta k}{\varepsilon} \operatorname{ctg} \delta \pi$$

Для $k = 1 \text{ м/сум}$, $\rho_1 = 1 \text{ г/см}^3$, $\rho_2 = 1.1 \text{ г/см}^3$ ($c = 0.4 \text{ м/сум}$) и $\varepsilon = 0.01 \text{ м/сум}$ по первым уравнениям (5) и (6) был выполнен расчет параметра a , координат свободной поверхности DC и границы раздела BC на электронной вычислительной машине Сибирского отделения АН СССР. Для определения параметра a задавалось отношение половины ширины полосы l к глубине залегания подпорных вод T (до инфильтрации), т. е. использовались первые уравнения (3) и (5).

Величина T взята равной 1 м. По результатам вычислений координат (l в м), приведенным ниже, построены соответствующие графики.

1. Для $l/T = 1$ (фиг. 1).

Координаты свободной поверхности

$x - l = 0.0012$	0.0049	0.0193	0.0744	0.2654	0.8099	0.2729
$-y = 0.0089$	0.0177	0.0352	0.0688	0.1276	0.2133	0.3168
$x - l = 4.537$	9.083	15.242	20.887	23.412	23.728	23.732
$-y = 0.4346$	0.579	0.7572	0.9189	0.9914	0.9999	1.0000

Координаты поверхности раздела

$x = 0.0526$	0.1053	0.2105	0.421	0.841	1.671	3.28
$y + H = 0.00007$	0.00026	0.0011	0.0042	0.0167	0.066	0.2495
$x = 6.17$	10.75	16.68	22.0	24.5	24.79	24.8
$y + H = 0.825$	2.11	3.98	5.7	6.46	6.549	6.55

2. Для $l/T = 5.23$ (фиг. 4).

Координаты свободной поверхности

$x - l = 0.00038$	0.00153	0.00611	0.0244	0.0966	0.3755
$-y = 0.00278$	0.00547	0.01123	0.02208	0.0442	0.0871
$x - l = 1.342$	4.06	9.56	17.35	24.5	27.7
$-y = 0.165$	0.29	0.467	0.692	0.904	0.986

Координаты поверхности раздела:

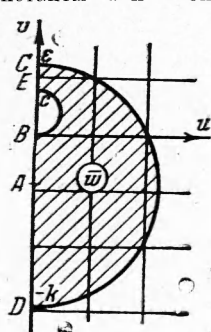
$x = 0.0928$	0.1855	0.3705	0.741	1.477	2.9
$y + H = 0.000116$	0.00046	0.00185	0.0074	0.0294	0.1136
$x = 5.5$	9.98	15.6	23.04	29.95	33.0
$y + H = 0.407$	1.232	2.9	5.25	7.45	8.4

Второй случай $c < \varepsilon$.

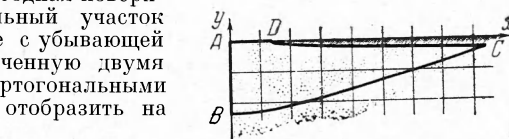
В этом случае участки границы области гидографа скорости (фиг. 5) также не имеют ни одной общей точки пересечения. Свободная поверхность DC переходит в горизонтальный участок CE , с которого происходит испарение с убывающей интенсивностью. Область w , ограниченную двумя аполлониевыми окружностями и ортогональными к ним отрезками прямых, можно отобразить на прямоугольник посредством функции

$$\tau = \ln [(w + ai) / (w + bi)]$$

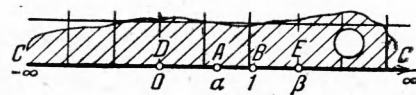
Константы a и b определяются. Затем при помощи формулы Кристоффеля — Шварца прямоугольник τ отображается на верхнюю полуплоскость ζ (фиг. 6) и, таким образом, получается выражение для $w = w(\zeta)$. Но $w = d\omega / dz = \Omega / Z$, т. е. известно отношение искомых решений линейного дифференциального уравнения второго порядка; коэффициенты этого уравнения также известные функции ζ . По формуле Лиувилля (см. [5], гл. IV) найдены



Фиг. 5



Фиг. 4



Фиг. 6

Z и Ω , выражения для которых на различных участках действительной оси полу-
плоскости ζ приводятся ниже.

Участок AD ($0 < \zeta < \alpha$)

$$Z = \frac{dz}{d\zeta} = -\frac{B}{V_p} \operatorname{sh} \frac{\vartheta_1}{2}, \quad \Omega = \frac{d\omega}{d\zeta} = -\frac{iB}{V_p} \left[-\alpha_1 \operatorname{sh} \frac{\vartheta_1}{2} + \beta_1 \operatorname{ch} \frac{\vartheta_1}{2} \right] \quad (7)$$

Часток AB ($\alpha < \zeta < 1$)

$$Z = \frac{dz}{d\zeta} = -\frac{B}{\sqrt{p}} \operatorname{sh} \frac{\vartheta_1}{2}, \quad \Omega = -\frac{iB}{\sqrt{p}} \left[-\alpha_1 \operatorname{sh} \frac{\vartheta_1}{2} + \beta_1 \operatorname{ch} \frac{\vartheta_1}{2} \right] \quad (8)$$

Свободная поверхность CD ($-\infty < \zeta < 0$)

$$\begin{aligned} Z = \frac{dz}{d\zeta} &= -\frac{iB}{\sqrt{p}} [\operatorname{ch} \ln \sqrt{c_1} \sin \theta_1 - i \operatorname{sh} \ln \sqrt{c_1} \cos \theta_1] \\ \Omega = \frac{d\omega}{d\zeta} &= -\frac{iB}{\sqrt{p}} [(-\alpha_1 \operatorname{sh} \ln \sqrt{c_1} + \beta_1 \operatorname{ch} \ln \sqrt{c_1}) \cos \theta_1 + \\ &\quad + i (-\alpha_1 \operatorname{ch} \ln \sqrt{c_1} + \beta_1 \operatorname{sh} \ln \sqrt{c_1}) \sin \theta_1] \end{aligned} \quad (9)$$

Часток CE ($\beta < \zeta < \infty$)

$$Z = \frac{dz}{d\zeta} = -\frac{iB}{\sqrt{p}} \operatorname{ch} \frac{\vartheta_2}{2}, \quad \Omega = \frac{d\omega}{d\zeta} = \frac{B}{\sqrt{p}} \left[\alpha_1 \operatorname{ch} \frac{\vartheta_2}{2} + \beta_1 \operatorname{sh} \frac{\vartheta_2}{2} \right] \quad (10)$$

Поверхность раздела BE ($1 < \zeta < 3$)

$$\begin{aligned} Z = \frac{dz}{d\zeta} &= -\frac{B}{\sqrt{p}} [\operatorname{sh} \ln \sqrt{c_0} \sin \theta_2 + i \operatorname{ch} \ln \sqrt{c_0} \cos \theta_2] \\ \Omega = \frac{d\omega}{d\zeta} &= \frac{B}{\sqrt{p}} [(\alpha_1 \operatorname{ch} \ln \sqrt{c_0} - \beta_1 \operatorname{sh} \ln \sqrt{c_0}) \cos \theta_2 - \\ &\quad - i (\alpha_1 \operatorname{sh} \ln \sqrt{c_0} - \beta_1 \operatorname{ch} \ln \sqrt{c_0}) \sin \theta_2] \end{aligned} \quad (11)$$

В формулах (7) — (11) приняты следующие обозначения:

$$p = p(\zeta) = \zeta(\alpha - \zeta)(1 - \zeta)(\beta - \zeta) \quad (12)$$

$$\theta_1(\zeta) = \pi F \left(\arcsin \sqrt{\frac{1}{\beta}}, \sqrt{\frac{1}{1 - \zeta}} \right) / K \left(\sqrt{1 - \frac{1}{\beta}} \right) + \ln C_1 \quad (13)$$

$$\theta_1(\zeta) = \pi F \left(\arcsin \sqrt{\frac{1 - \zeta}{1 - \beta}}, \sqrt{\frac{1}{1 - \beta}} \right) / 2K \left(\sqrt{1 - \frac{1}{\beta}} \right)$$

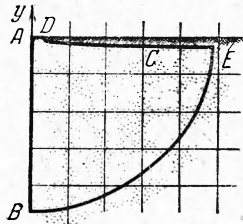
$$\theta_2(\zeta) = \pi F \left(\arcsin \sqrt{\frac{\zeta - \beta}{\zeta - 1}}, \sqrt{\frac{1}{\beta}} \right) / 2K \left(\sqrt{1 - \frac{1}{\beta}} \right) - \ln C_0$$

$$\theta_2(\zeta) = \pi F \left(\arcsin \sqrt{\frac{\beta - \zeta}{\beta - 1}}, \sqrt{\frac{1}{1 - \beta}} \right) / 2K \left(\sqrt{1 - \frac{1}{\beta}} \right)$$

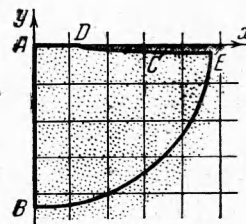
При этом функции $K(\lambda)$ и $F(\arcsin u, \lambda)$ — эллиптические интегралы первого рода

$$\begin{aligned} C_0 &= \frac{\sqrt{\varepsilon k} + \sqrt{(c+k)(\varepsilon-c)}}{\sqrt{\varepsilon k} - \sqrt{(c+k)(\varepsilon-c)}}, \quad C_1 = \frac{\sqrt{k(c+k)} + \sqrt{\varepsilon(\varepsilon-c)}}{\sqrt{k(c+k)} - \sqrt{\varepsilon(\varepsilon-c)}} \\ \alpha_1 &= \varepsilon k / (c - \varepsilon + k), \quad \beta_1 = \sqrt{\varepsilon k(c+k)(\varepsilon-c)} / (c - \varepsilon + k) \end{aligned}$$

Координаты свободной поверхности и поверхности раздела подсчитаны по первым уравнениям (9) и (11) на вычислительной машине. Предварительно из



Фиг. 7



Фиг. 8

первых уравнений (7) и (9) путем задания отношения l/T вычисляется параметр α . Параметр β определяется из соотношения

$$\pi K(\sqrt{1/\beta}) / K(\sqrt{1-1/\beta}) = \ln(C_0/C_1)$$

Приводим результаты некоторых вычислений при $k = 1 \text{ м} / \text{сум}$, $\varepsilon = 0.03 \text{ м} / \text{сум}$, $c = 0.01 \text{ м} / \text{сум}$ ($\rho_1 = 1 \text{ г} / \text{см}^3$, $\rho_2 = 1.01 \text{ г} / \text{см}^3$).

1) Для $l/T = 1 \text{ м}$ (фиг. 7).

Координаты свободной поверхности

$x - t = 0.1354$	0.439	0.802	1.191	1.593	2.08	2.44	2.88	3.34	3.82
$-y = 0.208$	0.348	0.45	0.529	0.59	0.644	0.689	0.726	0.761	0.794
$x - l = 4.31$	4.83	5.37	5.95	6.57	7.2	8.0	8.84	9.82	11.03
$-y = 0.822$	0.85	0.873	0.897	0.918	0.938	0.958	0.975	0.989	1.00

Координаты поверхности раздела

$x = 3.05$	5.92	8.45	10.62	12.4	13.83	14.99	15.92	16.67	17.27
$y + H = 0.2$	0.91	1.86	3.01	4.24	5.49	6.58	7.83	8.94	9.96
$x = 17.76$	18.15	18.475	18.73	18.93	19.09	19.206	19.29	19.33	19.35
$y + H = 10.91$	11.81	12.67	13.49	14.27	15.03	15.77	16.49	17.2	17.91

2) Для $l/T = 11.828 \text{ м}$ (фиг. 8).

Координаты свободной поверхности

$x - l = 0.0455$	0.4815	0.406	0.716	1.109	1.585	2.14	2.785	3.47	4.25
$-y = 0.0647$	0.4285	0.192	0.254	0.315	0.374	0.432	0.487	0.541	0.592
$x - l = 5.11$	6.06	7.1	8.2	9.47	10.89	12.47	13.95	17.45	19.1
$-y = 0.643$	0.691	0.739	0.783	0.824	0.868	0.907	0.945	0.97	1.0

Координаты поверхности раздела

$x = 7.8$	15.2	21.6	26.95	31.25	34.7	37.47	39.65	41.4	42	82	43	94
$y + H = 0.5$	2.1	4.6	7.5	10.5	13.4	16.3	19.0	21.55	23	9	26	15
$x = 44.86$	45.55	46.18	46.65	47.003	47.27	47.46	47.5	47.6				
$y + H = 28.25$	30.2	32.1	33.87	35.61	37.31	38.96	40.6	42.2				

Как видно из графиков, вследствие незначительности испарения свободная поверхность оказывается очень пологой. При расчетах интенсивность испарения вдоль всей свободной поверхности предполагалась постоянной. В действительности же эта величина убывает с глубиной, и допущение может быть приемлемым только для небольших глубин T .

Графики отражают также известную закономерность: рост глубины продавливания H с убыванием разности плотностей пресных и соленых вод. Величина H может быть весьма большой. Отметим два частных случая:

а) В случае $c = \varepsilon$ точка $C(0, \varepsilon)$ находится на оси w и является общей точкой пересечения границ области w . Уравнения для Z и Ω могут быть получены как при помощи метода конформных отображений, так и путем предельного перехода в уравнениях (3)–(7) при $\delta = 0$, $\mu = -2k/\varepsilon\pi$.

б) В случае $c = 0$ плотности инфильтрирующейся и подпорной воды одинаковы. Точка E на области z уходит в ∞ и совпадает с точкой B , а область годографа скорости w превращается в полукруг. Задача, следовательно, также может быть решена методом конформных отображений или путем предельного перехода при $\bar{\mu} = 1$ в уравнениях (7)–(11).

Для функций z и ω получаются уравнения, содержащие эллиптические интегралы третьего рода. Последние же выражаются через эллиптические интегралы первого рода (см. [7], гл. V).

Автор благодарит П. Я. Полубаринову-Кочину, под руководством которой проводилось исследование.

Поступила 7 XI 1961

ЛИТЕРАТУРА

- Полубаринова - Кочина П. Я. Теория движения грунтовых вод. Государствиздат, 1952.
- Аравин В. И., Нумеров С. Н. Теория движения жидкостей и газов в недеформируемой пористой среде. Государствиздат, 1953.
- Ризенкампф Б. К. Гидравлика грунтовых вод. Ч. III. Уч. зап. Саратовского ун-та, 1940, т. XV, вып. 2.
- Ризенкампф Б. К. Гидравлика грунтовых вод. Ч. II. Уч. зап. Саратовского ун-та, 1938, т. XIV, вып. 2.
- Голубев В. В. Лекции по аналитической теории линейных дифференциальных уравнений. Государствиздат, 1950.
- Смирнов В. И. Курс высшей математики. Ч. II. Государствиздат, 1956, т. III.
- Сикорский Ю. С. Элементы теории эллиптических функций с приложениями к механике. ОНТИ, 1936.